Date: 29/05/2013 Page: 1/6

Révision bdb68f3cd504

Clé: V5.02.102

Titre : SDNL102 - Poutre soumise à un champ de vitesse de [...]

Responsable : FLÉJOU Jean-Luc

# SDNL102 - Poutre soumise à un champ de vitesse

#### Résumé:

de vent

Ce test concerne la validation de l'application des chargements de vent sur les éléments linéiques. Le chargement est décrit par des champs de vitesses de vent.

- Ce problème permet de tester :
- les éléments finis linéiques [barres, câbles, poutres (sauf les poutres courbes)] avec des chargements suiveur de nature "vent",
- les chargements à l'aide des vitesses de vent :
  - lecture des données des champs de vent,
  - projection des champs de vent attachés au nuage de points sur le maillage déformé de la structure,
  - calcul de la vitesse relative,
- la prise en compte de la fonction donnant la force répartie en fonction de la vitesse relative de la structure,
- la réactualisation de la géométrie pour tenir compte des grands déplacements et des grandes rotations.

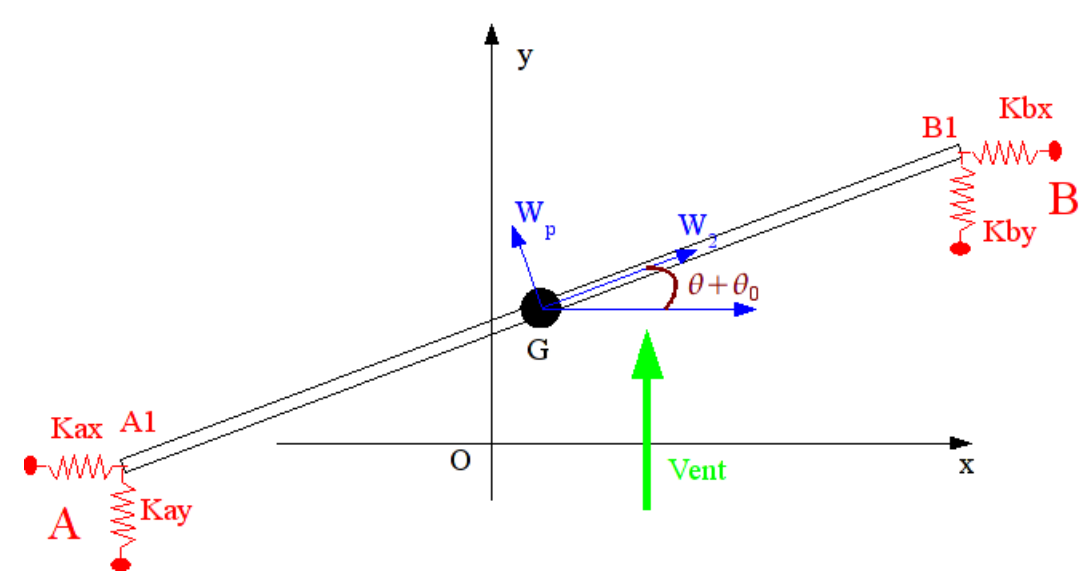
Responsable : FLÉJOU Jean-Luc

Date : 29/05/2013 Page : 2/6 Clé : V5.02.102 Révision

bdb68f3cd504

### 1 Problème de référence

#### 1.1 Géométrie



Longueur de la poutre : 1.5m

Raideurs des discrets : kax , kay , kbx , kby

## 1.2 Propriétés du matériau

Matériau pour l'élément linéique : E = 2.0E + 10 ,  $\rho = 1000.0$ 

Caractéristiques mécanique de la poutre : section = 'CERCLE', rayon = 0.1, ep = 0.1

La raideur des ressorts :

*Kxa Kya Kxb Kyb* 10 *N/m* 20 *N/m* 25 *N/m* 22 *N/m* 

## 1.3 Conditions aux limites et chargements

Aux points A et B: blocages des degrés de liberté: DX, DY, DZ

Aux points AI et BI: blocages des degrés de liberté: DZ, DRX, DRY

Les ressorts sont modélisés par des discrets sans dimensions. Les nœuds A et A1, B et B1 sont géométriquement confondus.

Les caractéristiques du champ de vitesse de vent, suivant l'axe y:

$$Vy=20.\sin(\omega \cdot t)$$
, avec  $\omega=2.\pi$ .  $f$  et  $f=0.2$   $Hz$ 

#### 1.4 Conditions initiales

La poutre fait un angle de  $30^{\circ}$  (  $\theta_0 = 30^{\circ}$  ) par rapport à l'axe x .

Titre : SDNL102 - Poutre soumise à un champ de vitesse de [...] Responsable : FLÉJOU Jean-Luc Date : 29/05/2013 Page : 3/6 Clé : V5.02.102 Révision

bdb68f3cd504

## 2 Solution de référence

## 2.1 Équations d'équilibre

L'étude est réalisée autour de la position initiale de la structure dans le plan xy. Les équations sont écrites au centre de gravité de la poutre.

Effort d'inertie :

$$M \cdot \gamma_g = \begin{cases} Mx'' \\ My'' \\ \frac{M L^2}{12} \cdot \theta'' \end{cases}$$

Effort au point A1

$$Fa = \begin{cases} -kxa \cdot \delta xa \\ -kya \cdot \delta ya \\ L \cdot (\delta ya \cdot kya \cdot \cos(\theta_0 + \theta) - \delta xa \cdot kxa \cdot \sin(\theta_0 + \theta))/2 \end{cases} \text{ avec les déplacements du point } A1 \\ \delta xa = L \cdot \cos(\theta_0)/2 - L \cdot \cos(\theta_0 + \theta)/2 + x \\ \delta ya = L \cdot \sin(\theta_0)/2 - L \cdot \sin(\theta_0 + \theta)/2 + y \end{cases}$$

Effort au point B1

$$Fb = \begin{cases} -kxb \cdot \delta xb \\ -kyb \cdot \delta yb \\ L \cdot (-\delta yb \cdot kyb \cdot \cos(\theta_0 + \theta) + \delta xb \cdot kxb \cdot \sin(\theta_0 + \theta))/2 \end{cases} \text{ avec les déplacements du point } B1 \\ \delta xb = -L \cdot \cos(\theta_0)/2 + L \cdot \cos(\theta_0 + \theta)/2 + xb \cdot \delta xb \cdot kxb \cdot \sin(\theta_0 + \theta)/2 + xb \cdot \delta xb \cdot kxb \cdot \sin(\theta_0 + \theta)/2 + xb \cdot \delta xb \cdot kxb \cdot \sin(\theta_0 + \theta)/2 + xb \cdot \delta xb \cdot kxb \cdot \sin(\theta_0 + \theta)/2 + xb \cdot \delta xb \cdot kxb \cdot \delta xb \cdot kxb \cdot \delta xb \cdot kxb \cdot \delta xb \cdot \delta$$

Effort dû au vent

Vitesse relative d'un point M

$$V_{r} = \begin{cases} Vvx + s. \sin(\theta_{0} + \theta). \theta' - x' \\ Vvy - s. \cos(\theta_{0} + \theta). \theta' - y' \\ 0 \end{cases}$$

aved

s: l'abscisse curviligne du point M sur la poutre  $s{\in}[-L/2,L/2]$  Vvx, Vvy: vitesse du vent suivant l'axe x et l'axe y.

• Vitesse relative perpendiculaire à la barre au point M :

$$V_{p} = \begin{cases} \sin(\theta_{0} + \theta) \cdot (-Vvy \cdot \cos(\theta_{0} + \theta) + Vvx \cdot \sin(\theta_{0} + \theta) + s \cdot \theta' - \sin(\theta_{0} + \theta) \cdot x' + \cos(\theta_{0} + \theta) \cdot y') \\ \cos(\theta_{0} + \theta) \cdot (Vvy \cdot \cos(\theta_{0} + \theta) - Vvx \cdot \sin(\theta_{0} + \theta) - s \cdot \theta' + \sin(\theta_{0} + \theta) \cdot x' - \cos(\theta_{0} + \theta) \cdot y') \\ 0 \end{cases}$$

Force due au vent en un point  $\,M\,$ 

$$Fvent_{(M)} = Fcx_{(M)} \cdot \frac{V_p}{\|V_p\|} \text{ dans notre cas on choisit } Fcx_{(M)} = \|V_p\|$$
 on obtient donc 
$$Fvent_{(M)} = V_p$$

Responsable : FLÉJOU Jean-Luc Clé : V5.02.102 Révision

Revision bdb68f3cd504

Date: 29/05/2013 Page: 4/6

• Résultante de la force due au vent sur la barre

$$Fvent = \begin{cases} L \cdot \sin(\theta_{0} + \theta) \cdot ((-Vvy + y') \cdot \cos(\theta_{0} + \theta) + (Vvx - x') \cdot \sin(\theta_{0} + \theta)) \\ L \cdot \cos(\theta_{0} + \theta) \cdot ((Vvy - y') \cdot \cos(\theta_{0} + \theta) + (-Vvx + x') \cdot \sin(\theta_{0} + \theta)) \\ -L^{3} \cdot \theta'/12 \end{cases}$$

Équation finale de la dynamique

$$M \cdot \gamma_g = Fa + Fb + Fvent$$

#### 2.2 Grandeurs et résultats de référence

Déplacements et rotation du point G aux instants :  $2.0 \mathrm{sec}$  ,  $3.0 \mathrm{sec}$  ,  $4.0 \mathrm{sec}$  ,  $5.0 \mathrm{sec}$  et  $6.0 \mathrm{sec}$  .

#### 2.3 Incertitudes sur la solution

Aucune. La résolution de l'équation d'équilibre se fait par une méthode d'intégration de Runge Kutta d'ordre 4.

Responsable : FLÉJOU Jean-Luc

Date : 29/05/2013 Page : 5/6 Clé : V5.02.102 Révision

bdb68f3cd504

## 3 Modélisation A

## 3.1 Caractéristiques de la modélisation et du maillage

L'élément linéique : 'poutre' découpée en 12 mailles.

Les discrets : 'DIS T'

#### 3.2 Grandeurs testées et résultats

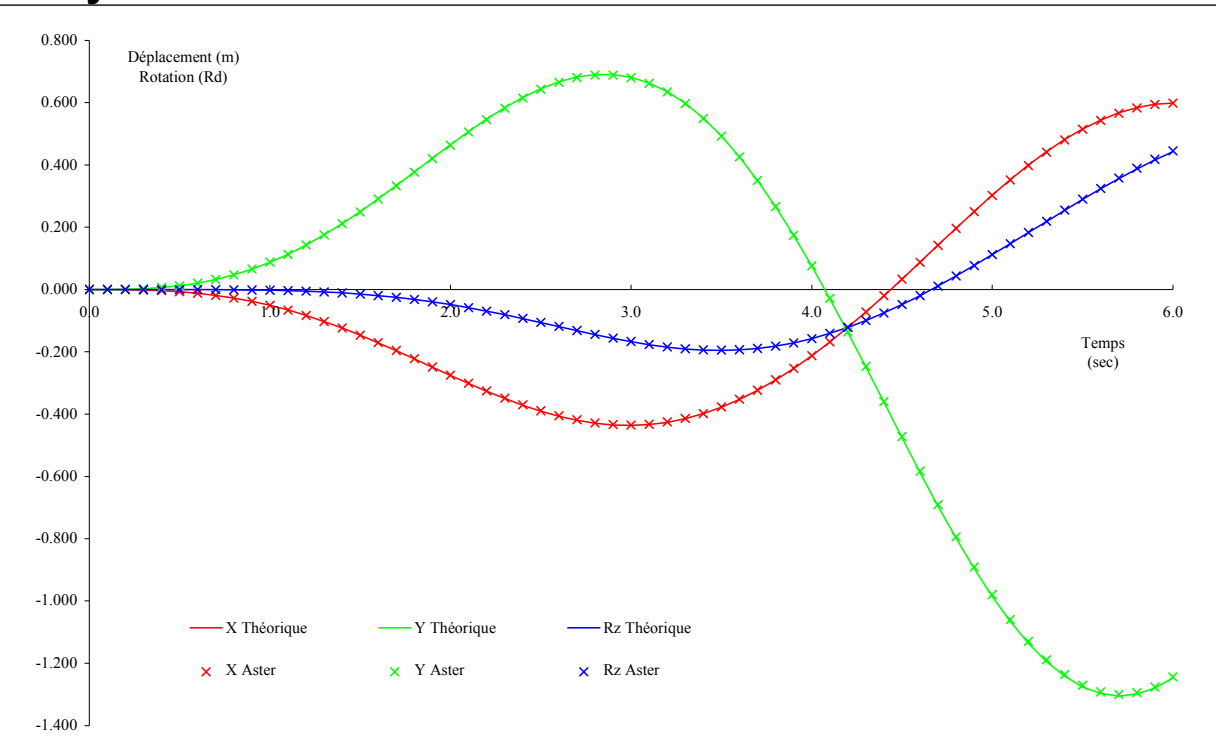
Temps 2.0sec	Analytique	Erreur absolue	Erreur relative
x(m)	-0.27571	0.00070	0.00255
y(m)	0.46478	0.00120	0.00259
Rz(rd)	-0.04851	0.00001	0.00027
Temps 3.0sec	Analytique	Erreur absolue	Erreur relative
x(m)	-0.43640	0.00118	0.00271
y(m)	0.68149	0.00190	0.00279
Rz(rd)	-0.16767	0.00079	0.00472
Temps 4.0sec	Analytique	Erreur absolue	Erreur relative
x(m)	-0.21266	0.00043	0.00201
y(m)	0.07494	0.00111	0.01476
Rz(rd)	-0.15769	0.00026	0.00163
Temps 5.0sec	Analytique	Erreur absolue	Erreur relative
x(m)	0.30290	0.00108	0.00357
y(m)	-0.98487	0.00536	0.00544
Rz(rd)	0.11188	0.00027	0.00241
Temps6.0sec	Analytique	Erreur absolue	Erreur relative
x(m)	0.59847	0.00032	0.00054
y(m)	-1.24735	0.00322	0.00258
Rz(rd)	0.44284	0.00251	0.00566

Responsable : FLÉJOU Jean-Luc

Date : 29/05/2013 Page : 6/6 Clé : V5.02.102 Révision

bdb68f3cd504

## 4 Synthèse des résultats



Comparaison entre les résultats théoriques et ceux de Code\_Aster.